

найдены энергия активации и предэкспоненциальный множитель газофазной реакции окисления магния в кислороде.

В заключение авторы выражают свою искреннюю благодарность Е. Н. Кондратьеву и С. А. Киро за полезные обсуждения.

#### ЛИТЕРАТУРА

1. Флорко А. В., Золотко А. Н., Каминская Н. В. и др. Спектральные исследования горения частиц магния // ФГВ.—1982.—18, № 1.—С. 17.
2. Головко В. В., Козицкий С. В., Флорко А. В. Электрическое поле горящей одиночной частицы магния // ФГВ.—1985.—21, № 4.—С. 27.
3. Флорко А. В., Головко В. В., Скогарев В. Г. Коэффициенты эффективности рассеяния и поглощения частиц MgO при температурах горения // ФГВ.—1989.—25, № 3.—С. 28.
4. Флорко А. В., Козицкий С. В., Писаренко А. Н. и др. Исследование горения одиночных частиц магния при пониженных давлениях // ФГВ.—1986.—22, № 2.—С. 35.
5. Брикустовский Т., Глассман И. // Гетерогенное горение.—М.: Мир, 1971.
6. Цвиккер Г. // Методы исследования плазмы.—М.: Мир, 1971.
7. Фриш С. Э. // Спектроскопия газоразрядной плазмы.—Л.: Наука, 1970.
8. Кузнецова Л. А., Кузьменко Н. Е. и др. Вероятности оптических переходов двухатомных молекул.—М.: Наука, 1980.
9. Каширенников О. Е., Кузнецов В. А., Манелис Г. Б. // ЖФХ.—1975.—49.—С. 888.
10. Cassel И., Liebman L. Combustion of magnesium particles. II Ignition temperatures and thermal conductivities of ambient atmospheres // Comb. Flame.—1963.—7, N 1.—P. 79—81.

2. Одесса

Поступила в редакцию 16/II 1990,  
после доработки — 8/VI 1990

УДК 661.666.1.4

З. А. Мансуров, Б. К. Тулеутаев, В. Т. Попов,  
Ю. М. Королев, А. А. Меркулов

#### САЖЕОБРАЗОВАНИЕ ПРИ НИЗКОТЕМПЕРАТУРНОМ ГОРЕНИИ МЕТАНА

Исследованы процессы сажеобразования при низкотемпературном горении богатых метанокислородных смесей в струевых условиях. Полученные сажи были проанализированы гравиметрическими, рентгеноструктурными и ЭПР-спектроскопическими методами. Определены элементный состав сажи, конверсия метана в сажу, а также фазовый состав по результатам рентгенофазового анализа. По данным фазового анализа было показано, что конечный продукт представляет собой смесь трех фаз с характерными положениями пиков 002.

Сажеобразование — важный и постоянно изучаемый аспект горения [1—3]. Несмотря на многочисленные исследования в широкой области параметров все еще мало сведений о сажеобразовании при низкотемпературном горении углеводородов при температурах  $T = 900—1200$  К. Слабо изучено также влияние предварительного подогрева горючей смеси, хотя, по-видимому, оно может быть одним из параметров управления полноты сгорания и свойств образующейся сажи. В связи с указанным представляют интерес исследование сажеобразования при низкотемпературном горении метана ( $T \approx 1200$  К), определение физико-химических характеристик сажи, а также выявление определяющих параметров процесса.

Обычно сажа образуется при  $T = 1600 \div 1800$  К [1, 2]. Снижению этой температуры способствует предварительный подогрев горючей смеси, поэтому процесс удобно исследовать в двухсекционном раздельно обогреваемом реакторе [4, 5].

Для изучения сажеобразования в пламени богатой метанокислородной смеси использована методика стабилизации пламени в двухсекцион-

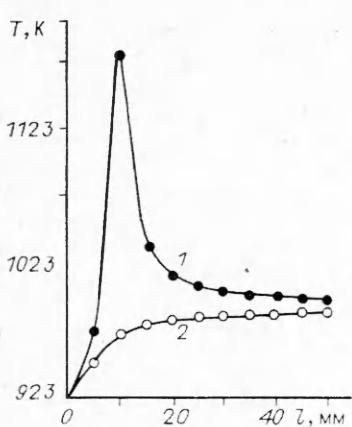


Рис. 1. Температурный профиль метанокислородной смеси.  $\tau = 7$  с (1 — пламя; 2 — инерт).

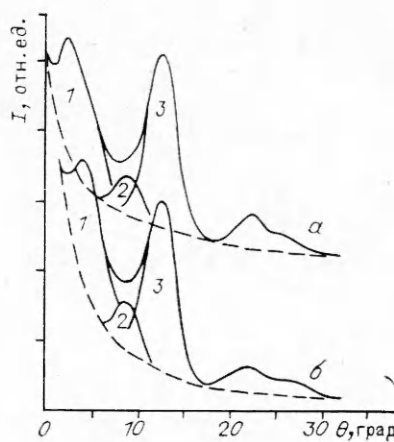


Рис. 2. Дифрактограммы метановой сажи (а), полученной при  $T_1 = 723$  К,  $T_2 = 973$  К и  $\tau = 7$  с и антрацита (б) (Донбасс) (1—3 — О-, Б- и Г-фазы).

ном раздельно обогреваемом реакторе [4—6]. В первой секции смесь метана с кислородом подогревалась, а во второй воспламенялась и стабилизировалось пламя, которое изолировано от предпламенной зоны благодаря тому, что скорость потока в узкой перемычке, соединяющей первую и вторую секции, во много раз больше скорости пламени, стабилизированной во второй секции.

Образовавшаяся сажегазовая смесь через выхлопную трубу поступает в сажесборник, изготовленный из углеродной ткани, позволяющей отделить сажу от газообразных продуктов. Для предотвращения конденсации воды сажесборник подогревался до 423 К.

Эксперименты проведены при атмосферном давлении и изменении температуры первой секции  $T_1$  от 723 до 873 К, а во второй  $T_2 = 973 \div 1223$  К. Время контакта  $\tau = 2,5 \div 10,2$  с, соотношение компонентов  $\text{CH}_4 : \text{O}_2$  изменялось от 1,5 : 1 до 2 : 1. Для измерения  $T_2$  использована хромель-алиумелевая термопара ( $d = 50$  мм), помещенная в тонкий кварцевый чехол для предотвращения рекомбинации радикалов. Еще две термопары вводились снаружи реактора для определения температуры обеих секций. Показания термопар регистрировали потенциометры КСП-4 (класс точности 0,25). На рис. 1 показан температурный профиль метанокислородной смеси при  $\text{CH}_4 : \text{O}_2 = 1,83 : 1$  и  $T_1 = 773$  К,  $T_2 = 973$  К, который имеет ярко выраженный максимум, достигающий 1173 К.

Полученные образцы сажи проанализированы гравиметрическим и рентгеноструктурными методами, а также с помощью ЭПР-спектроскопии. Гравиметрический анализ по методу Прегле образцов сажи, полученных при низкой температуре, показал содержание углерода, водорода и кислорода 90,06, 3,17 и 6,77 % соответственно. В сажах, полученных при высокой температуре, содержание углерода обычно составляет 96—99 %. Баланс по углероду рассчитывался из результатов хроматографического анализа и по массе полученной сажи. Общая конверсия метана — 93—95 %, а в твердый углеродный продукт (сажа) — до 25 %.

Внешняя поверхность по поверхностно-активным веществам равна 50 м<sup>2</sup>/г, а адсорбционная поверхность (по адсорбции азота) — 53 м<sup>2</sup>/г, и так как коэффициент шероховатости близок к единице, данную сажу можно отнести к гладкой.

В связи с тем что полученные образцы имели сложный фазовый состав, использовали рентгеновский количественный фазовый анализ по методике, примененный ранее для природных углеродсодержащих объектов, предложенный в [7, 8]. Анализ дифракционных спектров (ДРОН-1,5 с модифицированной коллимацией,  $\text{Cu} K\alpha$ -излучение) всех изученных саж представляет суперпозицию трех рентгеноаморфных фаз: кислород-

Таблица 1

$T_2$ , К	$\tau$ , с	$L_a$ , Å	$L_c$ , Å	$d_{002}$ , Å	Количество плоских решеток	Вид образца
973	7	54	15,5	3,64	4	Сажа
1003	7	50,7	22	3,62	6	
973	7	42,7	24,3	3,55	7	Пироуглерод

Примечание. Состав смеси  $\text{CH}_4 : \text{O}_2 = 2 : 1$ ;  $T_1 = 723$  К.

Таблица 2

Тип материала	$T_2$ , К	$h$ , мм	$P$ , мг	$h/P$ , мм/мг
Сажа	963	158	2,13	74,178
	1193	430	9,0	47,77
Пироуглерод	963	115	2,42	47,52
	1193	11	10,13	1,067

содержащая О-фаза, характеризующаяся положением пиков 002 при  $\theta_1 = 3,7^\circ$ , богхедова или углеводородная Б-фаза с  $\theta_2 = 9,4^\circ \div 10,0^\circ$  и про-графитовая кристаллическая Г-фаза с  $\theta_3 = 12,0^\circ$ . Сравнительный анализ показал, что дифракционные спектры изученных саж значительно отличаются от промышленных образцов технического углерода и прежде всего присутствием в них фаз О и Б. С другой стороны, состав и количественное соотношение рентгеновских фаз оказываются близкими природным угольным образованиям — антрацитам (рис. 2). Проведенный количественный анализ констатирует близкий состав всех изученных саж, при этом содержание О-фазы колеблется от 12 до 14 %, Б-фазы от 27 до 31 % и Г-фазы от 57 до 60 %. Коэффициент дифракции, характеризующий фазы,  $M = 63 \div 75\%$ .

Результаты рентгенографического анализа проб сажи приведены в табл. 1. Значения величин области когерентного рассеяния  $L_a$ ,  $L_c$  и величин  $d_{002}$ , характеризующих структуру сажевого пакета, из которых составлена частица образца, рассчитаны из рентгенограммы (см. рис. 2). Здесь  $L_a$  — длина поперечника сажевого пакета,  $L_c$  — его высота и  $d_{002}$  — расстояние между двумя соседними слоями в сажевом пакете.

Полученная низкотемпературная сажа имеет большое количество летучих. При экстрагировании изученных саж обнаружено, что от 20 до 30 % вещества переходит в экстракт. Из данных хроматографического группового анализа следует, что экстракт содержит до 70 % полиароматических углеводородов, до 17 % смол, 10—11 % асфальтенов и 1—2 % парафиновых и нафтеновых углеводородов [9].

Полученные сажи изучены методом ЭПР. В табл. 2 приведены высоты пиков  $h$  и масса пробы  $P$  сажи и пироуглерода. Вакуумирование образцов слабо влияет на ширину сигналов ЭПР. Объем навесок для анализа одинаков для всех образцов. Отложения сажи на стенках верхней части второй секции реактора представляют собой пироуглерод (1—3 %), который обладает более упорядоченной структурой плоских решеток, чем сажа.

С повышением температуры второй секции реактора количество неспаренных электронов в саже резко падает. Так, при изменении  $T_2$  от 1193 до 963 К концентрация неспаренных электронов уменьшается более чем в 1,5 раза. В случае пироуглерода число радикалов в тех же условиях падает почти в 45 раз. Как видно, с увеличением температуры

реактора на 230 К происходит образование более кристаллической структуры, сопровождаемое снижением концентрации дефектов, причем в случае пироуглерода это снижение более резкое.

#### ЛИТЕРАТУРА

1. Теснер П. А. Образование углерода из газовой фазы.— М.: Химия, 1972.
2. Bockhorn H., Fetting F. and Wenz H. W. Measurements of the soot concentration and soot particle size in propane-oxygen flames // Ber. Bunsenges. Phys. Chem.— 1983.— 87.— Р. 1067.
3. Calcote H. F. The role of ions in soot formation: Abstracts of the III Int. Seminar on flame structure.— Alma-Ata, 1989.
4. Гукасян П. С., Манташян А. А., Саадян В. А. Обнаружение высоких концентраций радикалов в зоне холодного пламени в реакции окисления пропана // ФГВ.— 1976.— 12, № 5.— С. 789.
5. Мансуров З. А., Тулеутаев Б. К., Попов В. Т. и др. Получение технического углерода при низкотемпературном окислении метана // Тез. докл. Всесоюз. конф. «Химические синтезы на основе одноуглеродных молекул».— М.: Наука, 1987.— С. 128—129.
6. Мансуров З. А., Мироненко А. В., Турешева Г. О. и др. // Исследование окисления бутана в режиме стабилизованных пламен: Сб. Горение гетерогенных и газовых систем/Материалы VIII Всесоюз. симп. по горению и взрыву.— Черноголовка, 1986.
7. Королев Ю. М. Новые данные преобразования испаряемого органического вещества и степени его катагенеза, полученные рентгенографическими методами // Органическое вещество в современных испаряемых осадках.— М.: Наука, 1985.— С. 168—173.
8. Королев Ю. М. Рентгенографическое исследование механизма преобразования органических веществ в процессе литогенеза // Геология нефти и газа.— 1988.— № 3.— С. 37—41.
9. Мансуров З. А., Тулеутаев Б. К., Пестерев В. И. и др. Исследование полиароматических углеводородов — продуктов низкотемпературного горения метана // Нефтехимия.— 1989.— № 2.— С. 188—191.

г. Ама-Ата

Поступила в редакцию 2/VIII 1988,  
после доработки — 24/V 1990

УДК 541.126

Е. Л. Давидчук, В. И. Димитров, М. Л. Рафалович,  
Ю. И. Тулупов, Н. А. Славинская

#### КИНЕТИКА ГОРЕНИЯ БОРА В СУХОМ ВОЗДУХЕ

В квазигомогенной постановке проведена серия численных экспериментов по горению бора в сухом воздухе. Вариации численных параметров (предэкспоненциальные множители и энергии активации) позволяют выявить кинетическую схему, адекватно описывающую эксперименты по горению бора. Определены границы лимитирующих процессов стадий развитого горения. По кинетическим кривым идентифицированы времена индукции, воспламенения и полного горения. Обнаружено нарушение общепринятой схемы образования высших окислов через низшие.

Основная особенность горения бора в сухом воздухе состоит в существенно гомогенно-гетерогенном характере [1, 2]: к-фаза и гетерогенные процессы — ведущие во всей фазе воспламенения, что же касается процессов в газовой фазе, то их роль становится определяющей лишь на стадии развитого горения и состоит в обеспечении достаточных тепловых потоков к поверхности горящей частицы. Это обстоятельство, а также дефицит необходимых кинетических данных по значениям коэффициентов скоростей элементарных реакций не позволяли реализовать систематическое численное моделирование горения В с целью установления как самой кинетической модели, так и получения логических объяснений основных особенностей горения, вытекающих из этой модели и коррелирующих с экспериментально наблюдаемой феноменологией.